

**РАСПРОСТРАНЕНИЕ ТЕПЛА  
ОТ ЛИНЕЙНОГО ИСТОЧНИКА  
В ПЛОСКОМ ТУРБУЛЕНТНОМ СЛЕДЕ**

УДК 532.517.4

**В. И. Букреев<sup>1</sup>, А. Г. Деменков<sup>2</sup>, В. А. Костомаха<sup>1</sup>,  
Г. Г. Черных<sup>2</sup>**

<sup>1</sup> Институт гидродинамики им. М. А. Лаврентьева СО РАН,  
630090 Новосибирск

<sup>2</sup> Институт вычислительных технологий СО РАН, 630090 Новосибирск

Экспериментально изучен перенос пассивной примеси — тепла от линейного источника — в плоском турбулентном следе за цилиндром эллиптического поперечного сечения при расположении источника вне плоскости симметрии следа. Выполнено численное моделирование этого течения с применением ряда полуэмпирических моделей турбулентности. Показано, что заданное первоначально несимметричное распределение температуры в следе стремится к тому же типу симметрии, что и распределения осредненных характеристик поля скорости, однако стирание «памяти» о местоположении источника примеси осуществляется крайне медленно. Получено удовлетворительное соответствие расчетных и экспериментальных результатов.

1. Перенос турбулентными течениями различного рода примесей — явление, достаточно широко распространенное как в природе, так и в технике. Этим обусловлен неослабевающий интерес к проблеме теоретического описания процессов переноса и их экспериментального изучения. Обычно ищутся ответы на наиболее важные вопросы: каковы пространственно-временные распределения концентрации примеси, как убывает концентрация примеси с удалением от источника, каковы размеры области, занятой примесью, трансформируются ли распределения концентрации примеси к некоторому асимптотическому виду и др.

Для рассматриваемого далее случая непрерывно действующего линейного источника, помещенного в различные турбулентные течения, из литературы известно следующее. В поле однородной изотропной турбулентности распределение осредненной концентрации примеси описывается гауссовой кривой [1, 2]. Установлены закономерности поведения вычисленной по этим распределениям дисперсии поперечного смещения меченой «жидкой» частицы (характеризующей размеры облака примеси), а также максимальной концентрации примеси при малых или больших расстояниях (или временах) от источника. Современные полуэмпирические модели турбулентности вполне удовлетворительно описывают такие течения [3].

Наличие постоянного сдвига средней скорости в поле однородной турбулентности [4–6] приводит к появлению асимметрии распределений концентрации и при почти таком же, как в изотропной турбулентности, убывании максимальной концентрации к более быстрому росту размеров облака примеси. В бессдвиговой неоднородной турбулентности профили температуры за линейным источником тепла также существенно несимметричны [7].

В [8, 9] изучалась диффузия тепла от линейного источника, помещенного на различных расстояниях от стенки в турбулентный пограничный слой на плоской пластине. В резуль-

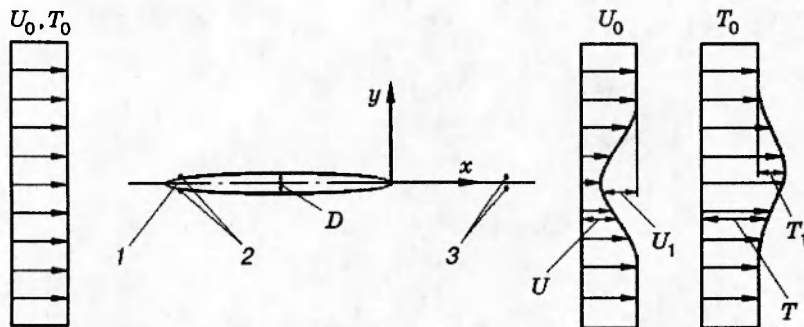


Рис. 1

тате этих опытов установлено, что поперечные профили средней температуры стремятся к асимптотическому распределению, не зависящему от местонахождения источника.

Поведение примеси, неравномерно распределенной в начальном сечении турбулентного следа или струи, практически не изучено. Единственные экспериментальные данные о диффузии тепла от линейного источника в плоской турбулентной струе, приведенные в [1], получены на небольших расстояниях от источника и не дают представления ни о возможности достижения распределениями концентрации асимптотического вида, ни о его характере. Полученные же в [2] законы вырождения концентрации примеси справедливы лишь для автомодельных режимов течения в струе или следе на больших расстояниях от источника.

Цель данной работы — получение новой экспериментальной информации о распространении пассивной примеси в плоском следе за цилиндром и демонстрация возможностей математического моделирования процессов переноса в этом течении.

2. Для описания течения привлекается система осредненных уравнений движения и переноса тепла в приближении тонкого сдвигового слоя:

$$U \frac{\partial U}{\partial x} + V \frac{\partial U}{\partial y} = - \frac{\partial}{\partial y} \langle u'v' \rangle; \quad (2.1)$$

$$\frac{\partial U}{\partial x} + \frac{\partial V}{\partial y} = 0; \quad (2.2)$$

$$U \frac{\partial T}{\partial x} + V \frac{\partial T}{\partial y} = - \frac{\partial}{\partial y} \langle v'T' \rangle. \quad (2.3)$$

Здесь  $U, V$  — горизонтальная и вертикальная компоненты осредненного движения;  $u', v', T'$  — пульсационные составляющие скорости и температуры;  $T$  — осредненная температура жидкости в следе;  $\langle u'v' \rangle$  — касательное рейнольдсово напряжение;  $\langle v'T' \rangle$  — вертикальная компонента вектора турбулентного потока тепла; угловые скобки означают осреднение. В этих уравнениях в предположении малости отброшены слагаемые с молекулярной вязкостью и диффузией.

Схема рассматриваемого течения, а также используемая система координат приведены на рис. 1.

Система уравнений (2.1)–(2.3) незамкнута. Для замыкания уравнения (2.1) привлека-

лось известное соотношение

$$-\langle u' v' \rangle = \nu_t \frac{\partial U}{\partial y}.$$

Рассматривалось два варианта представления коэффициента турбулентной вязкости  $\nu_t$ . В первом из них полагалось [10]  $\nu_t = c_\mu e^2 / \varepsilon$ .

Для определения энергии турбулентности  $e$  использовалось уравнение

$$U \frac{\partial e}{\partial x} + V \frac{\partial e}{\partial y} = \frac{\partial}{\partial y} \nu_t \frac{\partial e}{\partial y} + P - \varepsilon. \quad (2.4)$$

Скорость диссипации  $\varepsilon$  при этом находилась из соотношения Колмогорова

$$\varepsilon = \alpha e^{3/2} / L, \quad (2.5)$$

где  $L$  — характерный масштаб турбулентного течения, определяемый следующим образом:

$$e(x, L) = e(x, 0)/2.$$

Величина  $P$  в уравнении (2.4) — порождение энергии турбулентности за счет осредненного движения:

$$P = \nu_t \left( \frac{\partial U}{\partial y} \right)^2.$$

Во втором варианте турбулентная вязкость  $\nu_t$  задавалась в виде [10]

$$\nu_t = \frac{2}{3} \Phi \left( 1 - \frac{P}{\varepsilon} \Phi \right) \frac{e^2}{\varepsilon}, \quad \Phi = \frac{1 - C_2}{C_1 - 1 + \frac{P}{\varepsilon}}. \quad (2.6)$$

Скорость диссипации  $\varepsilon$  находилась путем решения соответствующего дифференциального уравнения переноса

$$U \frac{\partial \varepsilon}{\partial x} + V \frac{\partial \varepsilon}{\partial y} = \frac{\partial}{\partial y} \frac{\nu_t}{\sigma_\varepsilon} \frac{\partial \varepsilon}{\partial y} + \frac{\varepsilon}{e} (C_{\varepsilon 1} P - C_{\varepsilon 2} \varepsilon). \quad (2.7)$$

Величины  $C_\mu$ ,  $\alpha$ ,  $C_1$ ,  $C_2$ ,  $\sigma_\varepsilon$ ,  $C_{\varepsilon 1}$ ,  $C_{\varepsilon 2}$  — эмпирические постоянные.

Достаточная универсальность математической модели турбулентных струйных течений, включающей уравнения (2.4), (2.7) и выражение (2.6) для турбулентной вязкости, хорошо известна [10–13]. Однако при ее использовании возникают сложности с заданием начальных условий для  $\varepsilon$ , обусловленные, как правило, отсутствием необходимых экспериментальных данных. В связи с этим, как и в [11, 12], математическая модель с привлечением уравнения (2.4) и соотношения (2.5) применялась не только для проведения расчетов, но и для определения начального распределения  $\varepsilon$  в более сложных моделях.

Что касается замыкания уравнения (2.3), то здесь также рассматривалось два подхода. В первом из них полагалось [13]

$$-\langle v' T' \rangle = \nu_{tT} \frac{\partial T}{\partial y}, \quad \nu_{tT} = \frac{2}{3} \Phi_T \left( 1 - \frac{P}{\varepsilon} \Phi \right) \frac{e^2}{\varepsilon}, \quad (2.8)$$

$$\Phi_T = \left[ C_{1T} + \frac{1}{2} \left( \frac{P}{\varepsilon} - 1 \right) + \frac{1}{2} \frac{e}{\varepsilon} \frac{\varepsilon_T}{\langle T'^2 \rangle} \left( \frac{P_T}{\varepsilon_T} - 1 \right) \right]^{-1}, \quad P_T = -2 \langle v' T' \rangle \frac{\partial T}{\partial y}$$

и дополнительно привлекалось уравнение трансформации дисперсии флюктуаций температуры  $\langle T'^2 \rangle$ :

$$U \frac{\partial \langle T'^2 \rangle}{\partial x} + V \frac{\partial \langle T'^2 \rangle}{\partial y} = \frac{\partial}{\partial y} \nu_{tT} \frac{\partial \langle T'^2 \rangle}{\partial y} - 2 \langle v' T' \rangle \frac{\partial T}{\partial y} - \varepsilon_T. \quad (2.9)$$

Для скорости выравнивания температурных неоднородностей  $\varepsilon_T$  применялась алгебраическая аппроксимация [13]

$$\varepsilon_T = C_T \frac{\varepsilon \langle T'^2 \rangle}{e}. \quad (2.10)$$

Во втором подходе для нахождения  $\langle v' T' \rangle$  использовалось дифференциальное уравнение [10]

$$\begin{aligned} U \frac{\partial \langle v' T' \rangle}{\partial x} + V \frac{\partial \langle v' T' \rangle}{\partial y} &= \\ = \frac{\partial}{\partial y} \nu'_{tT} \frac{\partial \langle v' T' \rangle}{\partial y} - \langle v'^2 \rangle \frac{\partial T}{\partial y} - C_{1T} \frac{\varepsilon}{e} \langle v' T' \rangle - (1 - C_{2T}) \langle v' T' \rangle \frac{\partial V}{\partial y}. \end{aligned} \quad (2.11)$$

Коэффициент турбулентной диффузии  $\nu'_{tT}$  определялся следующим образом:

$$\nu'_{tT} = C_{\theta 1} \frac{2}{3} \left( 1 - \frac{P}{\varepsilon} \Phi \right) \frac{\varepsilon^2}{e} = C_{\theta 1} \frac{\langle v'^2 \rangle \varepsilon}{e}. \quad (2.12)$$

В уравнении (2.9) при этом  $\nu_{tT}$  заменялось на  $\nu''_{tT} = C_{\theta 2} \langle v'^2 \rangle e / \varepsilon$ . Величины  $C_T$ ,  $C_{1T}$ ,  $C_{2T}$ ,  $C_{\theta 1}$ ,  $C_{\theta 2}$  в соотношениях (2.8), (2.10), (2.12) — эмпирические постоянные. Два весьма отличающихся способа определения  $\langle v' T' \rangle$  (алгебраическая аппроксимация (2.8) и дифференциальное уравнение (2.11)) применялись в настоящей работе в связи с тем, что сравнение расчетных данных по различным моделям — еще один критерий достоверности результатов математического моделирования.

С учетом вышеизложенных соображений для решения задачи сформулированы три математические модели. Все они включают в себя уравнения (2.1)–(2.3), (2.9). Модель 1 дополнена уравнениями (2.4), (2.11) и соотношениями (2.5), (2.10), в модели 2 привлекаются уравнения (2.4), (2.7), (2.11) и соотношения (2.6), (2.10), в модели 3 используются также уравнения (2.4), (2.7) и соотношения (2.6), (2.8), (2.10).

3. Переменная  $x$  в рассматриваемой задаче играет роль времени. При  $x = x_0$  задаются начальные распределения  $U$ ,  $T$ ,  $e$ ,  $\varepsilon$ ,  $\langle T'^2 \rangle$ ,  $\langle v' T' \rangle$ , согласованные с экспериментальными данными. В качестве граничных условий при  $|y| \rightarrow \infty$  ставились нулевые значения осредненных дефектов скорости  $U_1 = U_0 - U$  и температуры  $T_1 = T - T_0$ , а также величин  $e$ ,  $\varepsilon$ ,  $\langle T'^2 \rangle$ ,  $\langle v' T' \rangle$ . Здесь  $U_0$ ,  $T_0$  — скорость и температура невозмущенного потока. Постановка задачи приведена для наиболее полной модели 2, для моделей 1, 3 задача ставится аналогично.

Переменные задачи обезразмериваются с использованием характерных масштабов скорости  $U_0$ , температуры  $T_*$  и длины  $L_*$ .

4. Для построения конечно-разностного алгоритма вводится функция тока  $\psi$  ( $U = \partial \psi / \partial y$ ,  $V = -\partial \psi / \partial x$ ). Искомыми функциями (на примере модели 2) являются  $U$ ,  $\psi$ ,  $T$ ,  $e$ ,  $\varepsilon$ ,  $\langle v' T' \rangle$ ,  $\langle T'^2 \rangle$ . Подробности построения конечно-разностного аналога задачи с применением подвижных сеток и пример его реализации для изотермических течений приведены в [14]. Для неизотермических течений введение дополнительных уравнений в математическую

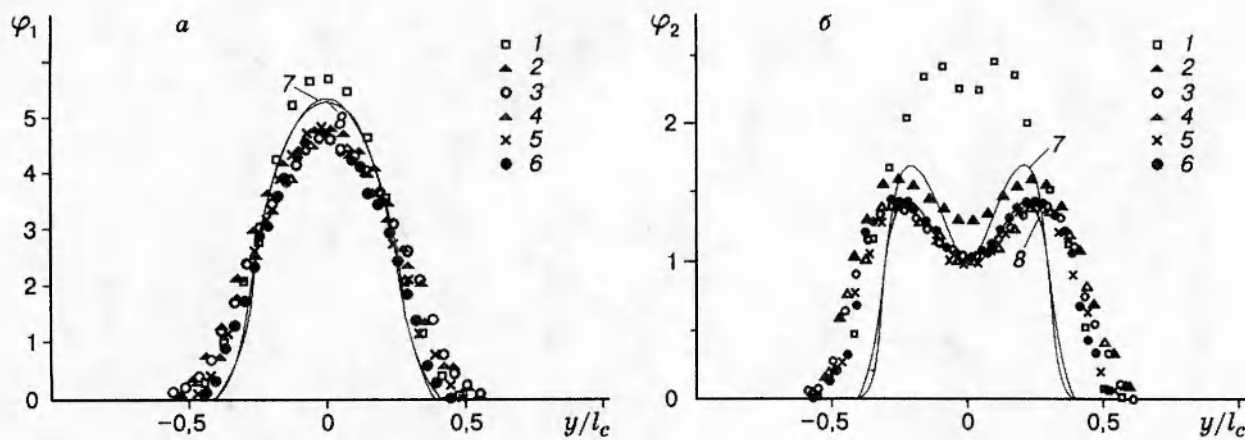


Рис. 2

модель усложняет алгоритм незначительно. Как показали результаты выполненных в настоящей работе численных экспериментов, в рассматриваемых задачах можно применять стационарные равномерные сетки и центрально-разностные аппроксимации конвективных слагаемых.

Детальное тестирование алгоритма осуществлено в [14]. Ниже представлены результаты расчетов, демонстрирующие применение моделей 2, 3 для численного исследования течения в плоском следе за нагретым цилиндром в условиях лабораторных опытов [15]. Начальные распределения задавались при  $x/D = 625$ . В качестве  $L_*$  выбирался диаметр цилиндра  $D$ , температура  $T_*$  полагалась равной  $T_0$ . В расчетах по модели 2 использовалась следующий набор эмпирических констант:  $C_\mu = 0,09$ ,  $C_1 = 2,2$ ,  $C_2 = 0,55$ ,  $C_{\epsilon 1} = 1,44$ ,  $C_{\epsilon 2} = 1,92$ ,  $C_T = 1,7$ ,  $C_{1T} = 3,2$ ,  $C_{2T} = 0,5$ ,  $C_{\theta 1} = 0,22$ ,  $C_{\theta 2} = 0,13$ . В модели 3 эмпирическая постоянная  $C_T$  полагалась равной 2,3. Все эмпирические постоянные, за исключением  $C_{\theta 1}$ ,  $C_{\theta 2}$  и  $C_T$ , общеприняты. Расчеты проводились на равномерной разностной сетке. Параметры дискретизации  $\delta x$ ,  $\delta y$  по переменным  $x$  и  $y$  выбирались равными  $0,5D$ ,  $0,2D$  соответственно. Уменьшение  $\delta x$  в 4 раза с одновременным уменьшением  $\delta y$  в 2 раза приводило к отклонениям, не превышающим 1% (в норме, являющейся сеточным аналогом нормы пространства непрерывных функций). Расчеты выполнялись в области  $x/D \geq 625$ ,  $0 \leq y/D \leq 40$ .

На рис. 2 расчетные результаты сравниваются с экспериментальными. На рис. 2, а приведены автомодельные профили осредненной температуры  $\varphi_1(y/l_c) = T_1/T_c$ , а на рис. 2, б — автомодельные распределения интенсивностей флуктуаций температуры  $\varphi_2(y/l_c) = \langle T'^2 \rangle^{1/2}/T_c$ , где  $l_c = (x - x_v)^{1/2} D^{1/2}$ ,  $T_c = (8,5^\circ\text{C}) D^{1/2} (x - x_v)^{-1/2}$ ,  $x_v$  — виртуальное начало координат. Экспериментальные данные, полученные при разных значениях  $x/D$ , показаны точками 1–6, линии 7 и 8 — расчеты по моделям 2 и 3 соответственно. Имеет место удовлетворительное совпадение результатов расчетов и опытов.

5. Эксперименты проводились в аэродинамической трубе с закрытой рабочей частью длиной 4 м и характерным поперечным размером 0,4 м. Рабочая часть слегка расширялась вниз по потоку так, чтобы скомпенсировать потерю импульса из-за нарастания пограничных слоев и при средней скорости потока в ядре 15 м/с продольный градиент давления равнялся нулю.

Эллиптический цилиндр 1 (см. рис. 1) с отношением осей, равным 6, устанавливался

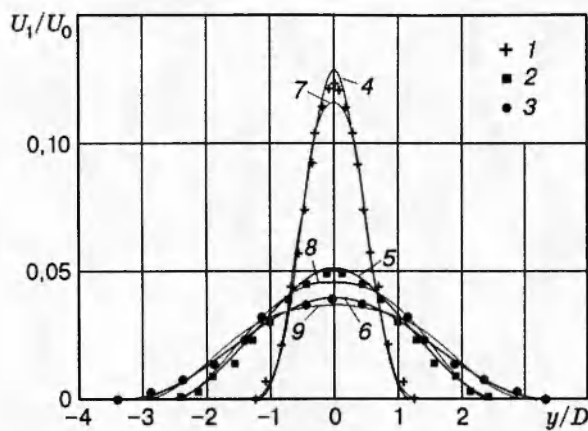


Рис. 3

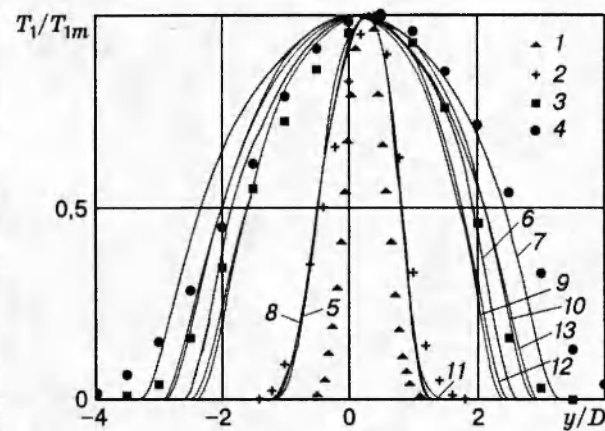


Рис. 4

в 30 см от начала рабочей части и ориентировался под нулевым углом атаки относительно набегающего потока. На его поверхности в 3 мм от передней кромки приклеивались турбулизирующие проволочки 2 диаметром 1 мм. Эллиптический цилиндр был тем же самым, что и в [16]. Опыты выполнены при числе Рейнольдса  $Re = U_0 D / \nu = 1,1 \cdot 10^4$ . Здесь  $D = 10,4$  мм — размер малой оси эллипса (поперечного сечения цилиндра),  $\nu$  — кинематический коэффициент вязкости,  $U_0 = 15,4$  м/с. Линейные источники тепла представляли собой нагреваемые электрическим током тонкие никромовые проволочки 3 диаметром 0,3 мм, расположенные в сечении  $x = 3D$  при  $y = \pm 0,19D$  и направленные вдоль оси  $z$ . Постоянство режима нагрева проволочек поддерживалось регулированием электрического тока. В опытах нагревалась либо верхняя ( $y = 0,19D$ ), либо нижняя ( $y = -0,19D$ ) проволочка.

Измерения средней скорости осуществлялись с помощью трубок полного напора и статического давления, изготовленных из медицинских игл диаметром 1,1 мм. Средняя температура измерялась бусинковым терморезистором СТЗ-18 диаметром 0,5 мм. Термоанемометр DISA-55D05 позволял продублировать измерения  $U$  и  $T$ , а также получить информацию о величинах  $\langle u'^2 \rangle$  и  $\langle T'^2 \rangle$ . При этом использовался метод трех перегревов [17]. Нить термоанемометрического датчика имела диаметр 5 мкм и длину 1,25 мм. Терморезистор и термоанемометрический датчик предварительно тарировались с целью определения их чувствительности к скорости и температуре.

6. В ряде сечений следа за цилиндром были выполнены измерения профилей  $U_1$  и  $\langle u'^2 \rangle$  в отсутствие нагревательных проволочек. Сопоставление полученных данных с измеренными ранее [16] показало достаточно хорошее (в пределах погрешностей эксперимента) их совпадение. Это, в свою очередь, позволило использовать далее результаты опытов [16] в качестве базовых при оценке влияния нагревательных проволочек на динамику следа.

На рис. 3 представлены измеренные в опытах при наличии нагревательных проволочек поперечные распределения  $U_1$ . Точки 1–3 отвечают расстояниям от цилиндра  $x/D = 18; 120; 200$ . Так как цилиндр специально устанавливался под нулевым углом атаки, профили  $U_1(y)$  симметричны относительно плоскости  $y = 0$ .

При малых  $x/D$  присутствие нагревательных проволочек привело к росту дефицита скорости в окрестности плоскости симметрии следа по сравнению с данными [16]. Такое отличие вызвано тем, что каждая из проволочек порождает собственные следы, которые

взаимодействуют друг с другом и вносят дополнительные возмущения в след за цилиндром. Однако вклад этих возмущений с ростом  $x/D$  из-за вырождения уменьшается, и, начиная с  $x/D \geq 36$ , распределения  $U_1(y)$  практически не отличались от измеренных в [16]. Поэтому коэффициент сопротивления, определенный на единицу длины цилиндра, оказался не зависящим от присутствия в следе нагревательных проволочек и равным, как и в [16], 0,26.

Кривые 4–6 на рис. 3 — результаты расчетов по модели 1 для сечений  $x/D = 18; 120; 200$ , кривые 7–9 — аналогичные результаты расчетов по модели 2. Модель 3 дает те же распределения, что и модель 2. Значения эмпирических постоянных моделей 1–3 принимались такими же, как при описании следа за полностью нагретым цилиндром (см. п. 4). Величина  $\alpha = 0,82$  выбиралась из условий согласования с экспериментальными данными настоящей работы. Параметры сетки следующие:  $\delta x = 0,1D$ ,  $\delta y = 0,04D$ . Одновременное уменьшение значения  $\delta y$  в 2 раза и  $\delta x$  в 4 раза приводило к результатам расчетов, отличающимся не более чем на 0,5 % в равномерной норме. Начальные данные задавались при  $x/D = 9$ .

Чтобы убедиться, что введенное в след тепло можно считать пассивной примесью и влиянием сил плавучести можно пренебречь, были измерены распределения средней скорости и интенсивности турбулентности продольной компоненты скорости в неизотермическом следе. Оказалось, что эти распределения в нагретом следе не утратили симметрии относительно плоскости  $y = 0$  и практически совпали с соответствующими характеристиками турбулентности, измеренными в изотермическом следе.

В опытах измерялись поперечные профили избыточной температуры  $T_1^+$  и  $T_1^-$ , соответствующие нагреву либо верхней, либо нижней проволочки. Было получено, что с точностью до ошибок эксперимента распределения  $T_1^+$  зеркально-симметричны (относительно плоскости  $y = 0$ ) профилям  $T_1^-$  ( $T_1^+(y) = T_1^-(y)$ ). Этот результат — дополнительное свидетельство отсутствия влияния сил плавучести на развитие следа с теплом. Далее приводятся лишь характеристики поведения пассивной примеси, измеренные при нагреве верхней проволочки (индекс + ниже всюду опущен).

На рис. 4 представлены измеренные профили безразмерной температуры  $T_1/T_{1m}$ , где  $T_{1m}$  — максимальное в данном сечении следа значение  $T_1$ , точки 1–4 отвечают  $x/D = 5; 18; 120; 200$ . Видно, что распределения  $T_1$  на небольших расстояниях вниз по потоку от источника тепла симметричны относительно прямой, параллельной линии  $y = 0$  и проходящей через нагревательную проволочку. Однако с удалением от источника распространение тепла по поперечному сечению следа становится заметно несимметричным. Перемещение нагретых элементов жидкости происходит преимущественно в центральную часть следа, в область меньших скоростей. Следует заметить, что близкая в качественном отношении картина диффузии тепла от линейного источника наблюдалась в [1] в плоской струе, когда выпущенная вне плоскости симметрии струи пассивная примесь также переносилась в основном в ее центральную зону, где, однако, в отличие от плоского следа, скорости максимальны.

Кривыми 5–7 изображены расчетные данные с применением модели 1 для  $x/D = 18; 120; 200$ , кривые 8–10, 11–13 — результаты расчетов по моделям 2, 3.

Линии на рис. 4 показывают, что профили  $T_1(y)$  остаются несимметричными вплоть до малых изученных в опытах расстояний  $x/D$ , и не ясно, сохранят ли они несимметрию достаточно далеко вниз по течению. Если реализуется первая возможность, то это будет означать, что характеристики поля температуры «помнят» о местоположении

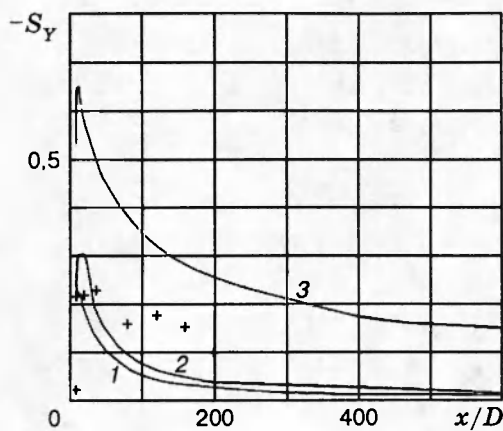


Рис. 5

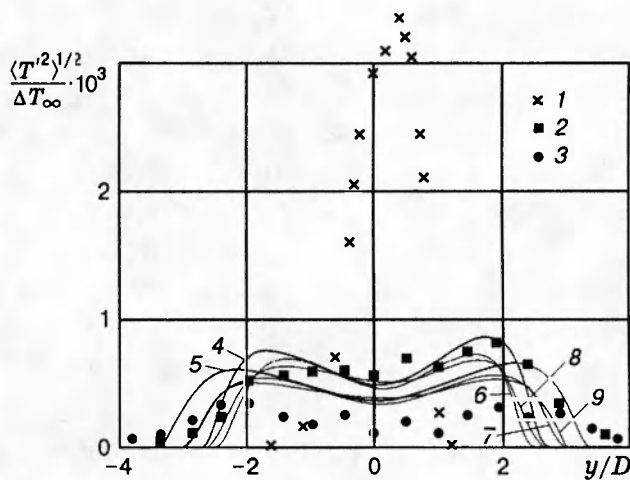


Рис. 6

источника примеси. В противном случае следует констатировать, что «память» о месте ввода примеси в след вдали за цилиндром стирается.

Чтобы получить дополнительную информацию по этому вопросу, вычислена асимметрия  $s_Y$  плотности распределения вероятностей  $P(Y)$  лагранжевой координаты  $Y$  «меченой» теплом жидкой частицы, численно равной расстоянию этой частицы от плоскости источника в момент времени  $\tau = x'/U$ , где  $x' = x - 3D$ . Величина  $s_Y$  очень чувствительна к небольшим вариациям функции  $P(Y)$ , которая в фиксированном сечении следа определяется осредненной концентрацией пассивной примеси (в данном случае — избыточной температуры) [1, 2]:  $P(Y) = T_1(y)/\int_{-\infty}^{\infty} T_1(y)dy$ . Величина  $s_Y$  вычислялась по формуле

$$s_Y = (1/\sigma_Y^3) \int_{-\infty}^{\infty} (Y - \bar{Y})^3 P(Y) dY, \text{ где } \bar{Y} = \int_{-\infty}^{\infty} Y P(Y) dY — \text{ среднее положение «меченых»}$$

частич, а  $\sigma_Y^2 = \int_{-\infty}^{\infty} (Y - \bar{Y})^2 P(Y) dY$  — их дисперсия.

Результаты соответствующих вычислений (крестики — эксперимент, линии — расчеты) представлены на рис. 5. Результаты расчетов по моделям 1–3 оказались близки друг к другу и показаны на рисунке кривой 1. Следует заметить, что при нагреве верхней проволочки  $s_Y < 0$ , а нижней —  $s_Y > 0$ . Как видно из экспериментальных данных, абсолютная величина коэффициента асимметрии с ростом  $x/D$  сначала резко увеличивается, а затем, достигнув максимума, медленно уменьшается. Еще медленнее уменьшается асимметрия  $P(Y)$  (или  $T_1(Y)$ ), если расположить источник примеси в начальном сечении на расстоянии, вдвое большем от плоскости симметрии следа (кривая 2 на рис. 5 — расчет по модели 1).

Кривая 3 на рис. 5 отвечает результатам расчетов диффузии тепла от линейного источника в плоском безымпульсном турбулентном следе. Распределения осредненных и пульсационных характеристик поля скорости задавались в соответствии с экспериментальными данными [18]. Результаты сопоставления расчетов по модели 2 с этими данными можно найти в [14]. Использовались искусственные начальные условия для поля

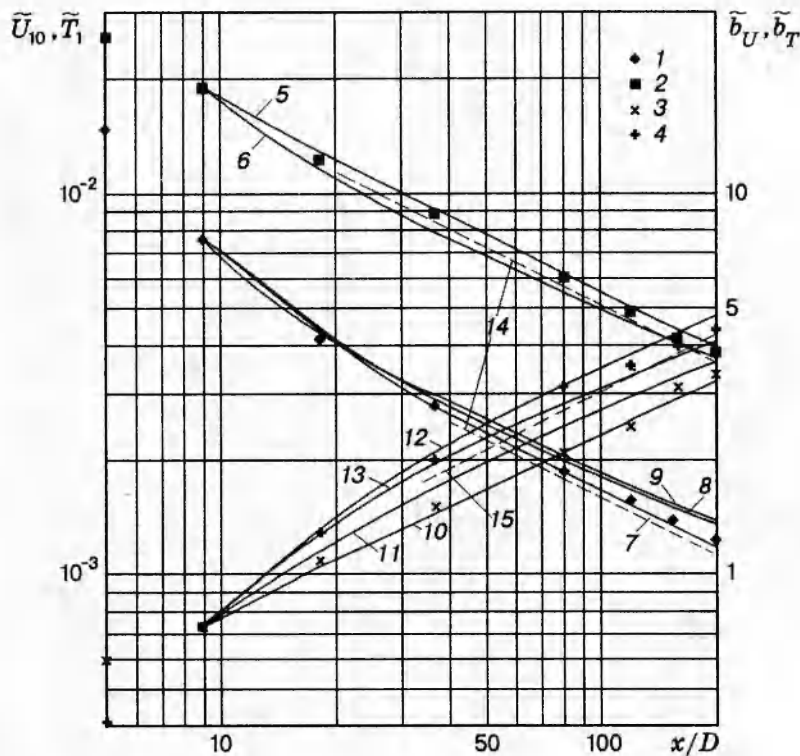


Рис. 7

температуры, так как в [18] изучалось изотермическое течение. Начальное распределение средней температуры задавалось при  $x/D = 6$  в виде функции, равной  $T_0$  вне области  $0,2 \leq y/D \leq 0,4$  и  $1,20T_0$  внутри этой области, а величина  $\langle T'^2 \rangle$  всюду полагалась равной нулю. При выполнении этих численных расчетов в правую часть уравнения (2.1) добавлялось слагаемое  $(\partial/\partial x)(\langle u'^2 \rangle - \langle v'^2 \rangle) = 2(\partial/\partial x)((\Phi(e/\varepsilon)P))$ . Несмотря на существенное различие в структуре следов с нулевым и ненулевым суммарным избыточным импульсом, поведение  $sy$  качественно одинаково.

Таким образом, представленные данные свидетельствуют о том, что не существует асимптотического состояния плоского следа с несимметричным профилем избыточной температуры и что (рано или поздно) распределения  $T_1$  будут такими же, как если бы был нагрет весь цилиндр (с тем же суммарным количеством избыточного тепла).

К состоянию, характерному для течения в следе за полностью нагретым цилиндром, эволюционируют не только распределения средней температуры, но и профили интенсивности флуктуаций температуры, что демонстрируется на рис. 6, где точки 1–3 — результаты измерений при  $x/D = 9; 120; 200$ , значения  $\langle T'^2 \rangle^{1/2}$  нормированы на разность  $\Delta T_0$  температуры проволочки  $T_w$  и температуры потока вне следа,  $\Delta T_0 = T_w - T_0 = 460^\circ\text{C}$ . Если при небольших значениях  $x/D$ , как это видно из рисунка, в профиле  $\langle T'^2 \rangle^{1/2}$  наблюдается лишь один максимум, а сам профиль несимметричен относительно  $y = 0$ , то с удалением от цилиндра распределение интенсивностей флуктуаций температуры становится двугорбым и уже при  $x/D = 200$  приобретает вид, типичный для следов за плоскими нагретыми телами.

Линиями на рис. 6 представлены результаты расчетов на основе моделей 1–3 (4, 5 отвечают модели 1,  $x/D = 120; 200$ , 6, 7 — модели 2, 8, 9 — модели 3 для тех же рас-

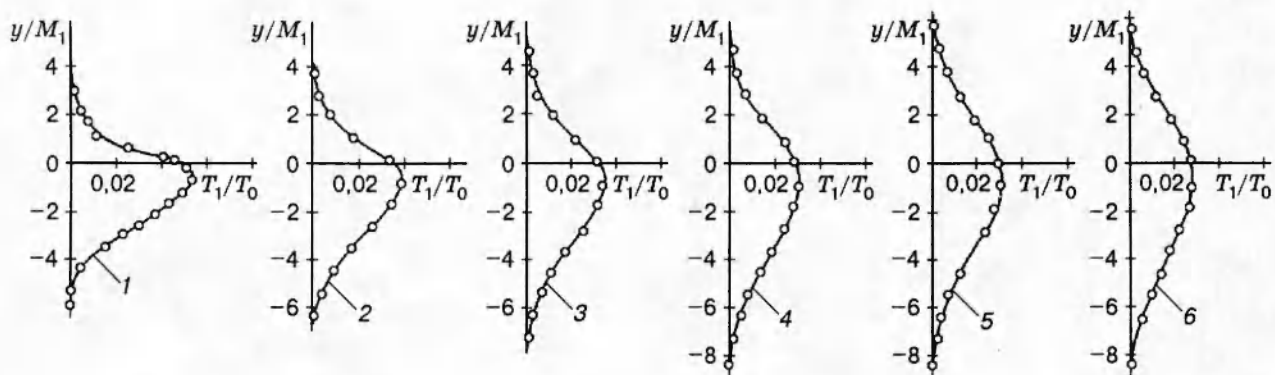


Рис. 8

стояний  $x/D$ ). Несмотря на то что в качестве начального распределения  $\langle T'^2 \rangle$  задавался одногорбый экспериментальный профиль (точки 1), с ростом  $x/D$  решение приобретает двугорбый несимметричный вид, приближаясь к автомодельному. Наблюдаемые при  $x/D = 200$  расхождения, по-видимому, связаны с недостаточной точностью использованного при измерениях метода «трех перегревов».

По мере удаления от цилиндра размеры следа растут, а неоднородности поля скорости и пассивной примеси вырождаются. Представление о характере этих процессов дают данные, приведенные на рис. 7, где точки 1 —  $\bar{U}_1 = U_{10}/U_0$  ( $U_{10}$  — дефицит средней скорости при  $y = 0$ ), 2 —  $\bar{T}_1 = T_{1m}/\Delta T_0$ , 3 —  $\bar{b}_U = b_U/D$ , 4 —  $\bar{b}_T = b_T/D$  ( $b_U$  и  $b_T$  — полная ширина профиля  $U_1(y)$  или  $T_1(y)$  на уровне  $U_{10}/2$  или  $T_{1m}/2$  соответственно). На небольших расстояниях от источника тепла размеры нагретой области следа естественно меньше ширины следа;  $b_T$  при  $x/D = 5$  примерно в 1,5 раза меньше  $b_U$ . Однако с ростом  $x/D$  тепло быстро распространяется по всему поперечному сечению следа и  $b_T > b_U$  уже при  $x/D > 10$ , что свидетельствует о неодинаковости коэффициентов турбулентного переноса импульса и тепла. Несмотря на то что распределения пассивной примеси на изученных в опытах расстояниях от цилиндра не достигают автомодельного состояния, при больших  $x/D$  как  $b_U$ , так и  $b_T$  пропорциональны  $x^{1/2}$  (линия 15 на рис. 7), так что их отношение почти постоянно и равно 0,76. Интересно отметить, что близкие значения  $b_U/b_T$  получены также в плоской подогретой струе (0,74 в [19]) и в следе за нагретым круглым цилиндром (0,76 в [20] и 0,80 в [21]). Убывание максимальных значений избыточной температуры при больших  $x/D$  практически пропорционально  $x^{-1/2}$  (линии 14), что согласуется с законами вырождения, полученными в [2] для автомодельных течений в плоском следе.

Результаты расчетов на рис. 7 изображены линиями 5–13. Кривые 5, 6 — изменение осевого значения дефекта скорости в зависимости от расстояния от тела, 5 получена по модели 1, 6 — по моделям 2, 3. Кривые 7–9 описывают вырождение максимального значения дефекта температуры  $\bar{T}_1$  и соответствуют расчетам по моделям 1–3. Изменение рассчитанных величин  $b_U$  и  $b_T$  представлено кривыми 10, 11 и 12, 13 (10, 12 найдены на основе модели 1, а 11, 13 — модели 2). Результаты расчетов  $b_T$  по моделям 2, 3 практически совпали (кривая 13).

Сопоставление расчетных данных с экспериментальными (рис. 2–7), а также результаты расчетов плоских следов с нулевым и ненулевым избыточным импульсом [12] и осе-

симметричных следов [11] позволяют сделать вывод о достаточной универсальности алгебраической модели рейнольдсовых напряжений [10] и потоков тепла [13], так как все расчеты проводились с одним и тем же набором эмпирических постоянных.

Полученные в опытах и при математическом моделировании данные дают возможность представить картину переноса пассивной примеси в плоском спутном течении следующим образом. В непосредственной окрестности источника примесь локализована в тонкой пелене, которая с удалением от источника деформируется под действием наиболее крупных турбулентных вихрей, а также размывается вследствие влияния молекулярной диффузии. Поскольку размеры больших вихрей сравнимы с поперечными размерами следа, то примесь достаточно быстро распространяется на всю его ширину, оставаясь при этом все еще сосредоточенной в сильно деформированных, но относительно узких областях и обуславливая сильную перемежаемость мгновенной концентрации примеси. Преимущественный перенос примеси происходит в область вихрей большего масштаба, так что со временем распределения средней концентрации примеси и интенсивности флюктуаций примеси приобретают тот же тип симметрии, что и распределения вихрей по масштабам.

О преимущественном переносе примеси крупномасштабными вихрями в течениях с мало меняющейся средней скоростью (а именно такими являются дальние следы) свидетельствуют и результаты специально выполненных опытов по диффузии пассивной примеси в бессдвиговой неоднородной турбулентности за комбинированной решеткой. Схема проведения опытов (без источника примеси), система координат, обозначения и характеристики турбулентности поля скорости приведены в [22]. Линейный источник примеси (тепла) располагался в плоскости  $y = 0$  вдоль оси  $z$  на расстоянии  $5M_1$  от решетки. При соотношении размеров ячеек  $M_2/M_1 = 5$  составная решетка генерирует турбулентность с  $u_-^2/u_+^2 \approx 10$  и  $L_-/L_+ \approx 1,8$ , где  $L_-$  и  $L_+$  — интегральные масштабы турбулентности в областях однородности за крупно- и мелкочаечистой частями комбинированной решетки соответственно.

Характер распространения тепла от линейного источника в такой неоднородной бессдвиговой турбулентности иллюстрируется рис. 8, где показаны профили избыточной средней температуры. Цифры 1–6 у кривых отвечают расстояниям от решетки  $x/M_1 = 40; 80; 120; 160; 200; 240$ , кривые проведены по опытным данным. Видно, что в отсутствие градиентов средней скорости распределения концентрации пассивной примеси формируются так, что большая часть примеси оказывается в области крупномасштабных турбулентных движений.

Работа выполнена при финансовой поддержке Российского фонда фундаментальных исследований (код проекта 95-01-00910).

## ЛИТЕРАТУРА

1. Хинце И. О. Турбулентность, ее механизм и теория. М.: Физматгиз, 1963.
2. Монин А. С., Яглом А. М. Статистическая гидромеханика. С.-Петербург: Гидрометеоиздат, 1992. Ч. 1.
3. Илюшин Б. Б., Курбацкий А. Ф. Применение уравнений для моментов второго порядка в задаче о диффузии примеси от линейного источника // Сиб. физ.-техн. журн. 1993. № 5. С. 25–35.
4. Karnik U., Tavoularis S. Measurements of heat diffusion from a continuous line source in a uniformly sheared turbulent flow // J. Fluid Mech. 1989. V. 202. P. 233–261.

5. Chung M. K., Kyong N. H. Measurement of turbulent dispersion behind a fine cylindrical heat source in a weakly sheared flow // J. Fluid Mech. 1989. V. 205. P. 171–193.
6. Stapountzis H., Britter R. E. Turbulent diffusion behind a heated line source in a nearly homogeneous turbulent shear flow // Turbulent shear flows. Berlin: Springer, 1989. V. 6. P. 97–108.
7. Veeravalli S., Warhaft Z. Thermal dispersion from a line source in the shearless turbulence mixing layer // J. Fluid Mech. 1990. V. 216. P. 35–70.
8. Shlien D. J., Corrsin S. Dispersion measurements in a turbulent boundary layer // Int. J. Heat Mass Transfer. 1976. V. 19, N 3. P. 285–295.
9. Paranthoen P., Trinite M. Etude de la diffusion de la chaleur en aval d'une source linéaire placée dans une couche limite turbulente // Int. J. Heat Mass Transfer. 1981. V. 24, N 7. P. 1105–1113.
10. Rodi W. Turbulence Models and Their Application in Hydraulics. Karlsruhe: University of Karlsruhe, 1980.
11. Федорова Н. Н., Черных Г. Г. О численном моделировании безымпульсного следа за сферой // Моделирование в механике: Сб. науч. тр. / РАН. Сиб. отд-ние. ИТПМ. 1992. Т. 6(23), № 1.
12. Chernykh G. G., Demenkov A. G., Fedorova N. N. Numerical models of a plane and axisymmetric turbulent wakes in homogeneous fluid // Int. Conf. on the Methods of Aerophysical Research, Novosibirsk, aug. 22–26, 1994. Novosibirsk, 1994. Pt 2. P. 76–81.
13. Gibson M. M., Launder B. E. On the calculation of horizontal turbulent free shear flows under gravitational influence // Trans. ASME. 1976. V. C 98, N 1. P. 81–87.
14. Деменков А. Г., Черных Г. Г. О численном моделировании струйных течений вязкой несжимаемой жидкости // Вычислительные технологии: Сб. науч. тр. / РАН. Сиб. отд-ние. ИВТ. 1995. Т. 4, № 12.
15. Freymuth P., Uberoi M. S. Structure of temperature fluctuations in the turbulent wake behind a heated cylinder // Phys. Fluids. 1971. V. 14, N 12. P. 2574–2580.
16. Лыткин Ю. М. Турбулентный след за цилиндром некруглого поперечного сечения // Динамика сплошной среды: Сб. науч. тр. / АН СССР. Сиб. отд-ние. Ин-т гидродинамики. 1970. Вып. 5.
17. Corrsin S. Extended applications of the hot-wire anemometer // NASA Technical Note. 1949. N 1864.
18. Дмитренко Ю. М., Ковалев И. И., Лучко Н. Н., Черепанов П. Я. Исследование плоского турбулентного следа с нулевым избыточным импульсом // Инж.-физ. журн. 1987. Т. 52, № 5. С. 743–751.
19. Гиневский А. С. Теория турбулентных струй и следов. М.: Машиностроение, 1969.
20. Таунсенд А. А. Структура турбулентного потока с поперечным сдвигом. М.: Изд-во иностр. лит., 1959.
21. Uberoi M. S., Freymuth P. Spectra of turbulence in wakes behind circular cylinders // Phys. Fluids. 1969. V. 12, N 7. P. 1359–1363.
22. Алексенко Н. В., Букреев В. И., Костомаха В. А. Бессдвиговое взаимодействие двух изотропных турбулентных полей // ПМТФ. 1985. № 1. С. 57–62.

Поступила в редакцию 15/VII 1995 г.